

1.はじめに 開水路弯曲部においては螺旋流が発達し、流れはいわば三次元的になる。主流の横断方向への分布としては曲率半径に反比例する自由渦型、それに比例する強制渦型の分布等が知られている。

主流の鉛直方向についての分布に関しては対数則が成り立つともされている。この場合のKarman定数 K の値については、管路におけるNikuradseの実験に一致するとされる $K = 0.4$ よりも大きな値の方が適当であるとも考えられてい。たとえばRozovskiiによると $K = 0.4 \sim 0.6$ のうち平均的な値として $K = 0.5$ を用いている。

浮遊砂を含む流れの場合にもKarman定数の値が変化するとされていて、弯曲流の場合においても乱れの構造が変化するとも考えられ、流れが弯曲部を流下するに従いKarman定数の値が徐々に大きくなるようである。この点について実験値と対応させながら流下方向の運動方程式を基にして検討を行なった。

2. 基礎式とその計算 流下方向の運動方程式は圧力項と摩擦項とが釣合うとすると、円筒座標を用いてつきのように表わされる。

$$v_r \frac{\partial v_\theta}{\partial r} + v_\theta \frac{\partial v_r}{\partial \theta} + v_z \frac{\partial v_\theta}{\partial z} + \frac{v_r v_\theta}{r} = 0 \quad \text{--- (1)}$$

ここで U_F , U_θ , U_z はそれぞれ θ , φ 方向の流速成分である。

主流沿の鉛直方向の分布についてはつきのようく表わした対数則を考える。

ここに \bar{U}_z は鉛直方向に平均した流速, K は Karman 定数, $C/\sqrt{\theta}$ は無次元 Chezy 係数, \ln は自然対数, γ は無次元鉛直座標である。

二次流渦については簡略化した γ の一次式を用い、 v_2 については γ の二次式で表わされるも γ を使い、 v_0 の横断方向についての分布は自由漏型であるとすると式(1)は

$$\frac{\partial (\bar{V}_{\theta_1})^2}{\partial \theta_1} = \frac{3}{K^3} (1 - \eta) \quad \dots \dots \dots \quad (3)$$

とす。 $\dot{z} = \dot{z}(v_\theta) = v_\theta / v_m$, $\theta_1 - \theta_2 = \theta(\sqrt{g}/C)(h/r)$ である。

式(3)から明らかなように η が小さい程 v_0 の増加の割合が大きいことになり、 v_0 の鉛直方向についての分布は流下するにつれて平均化するようになる。

Karman定数の値が流下方向へどのように変化するのかについての計算はつきのように行なう。まず自由滑型分布をするとみることができる範囲内における平均の C/\sqrt{y} , \bar{h}/t を計算する。つきに式(2)から y のおのおのの値に対する $C(y_0)$ を求める。そして t だけ離れた位置での C と y_0 との関係を得る。そこでの \bar{h}/y と y_0 は式(2)におけるように直線関係にあると考える。したがつて最小自乗法によりその勾配を決めると、それが \sqrt{y}/KC に等しいからこの位置での K の値を求めることができる。

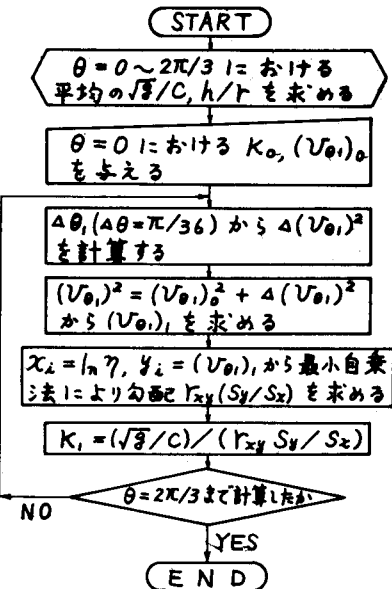


圖-1 計算方法

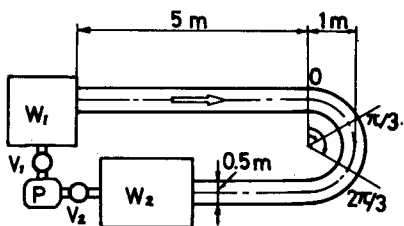


圖-2 實驗水路

直線部と弯曲部との境界から計算を始めることにし、その位置での K の値は $K = 0.4$ とする。計算手順を流れ図で示すと図-1のようである。

3. 実験値との比較 実験には図-2に示されているような水路底が水平な鋼製水路を用いた。 W_1, W_2 は水槽、 V_1, V_2 はバルブ、 P はポンプおよびモーターを示している。水路は 180 度の弯曲角の曲線部の前後にそれぞれ 5m, 2.5 m の直線部が接続している。水路中心における曲率半径は 1 m で弯曲部の長さは中心部で約 3.14 m である。水路の底に中央粒径 0.5 が $d_{50} = 0.72 \text{ mm}$ の砂を約 8 cm 薄き均して水を流下させた。

弯曲角が 120 度以降の部分においては下流の直線部の影響が大きく出てきて、主流の横断方向への分布が自由渦型と見做せないようであるため対象としたのは弯曲角が 0 度から 120 度までとした。

実験に用いた水理量としては流量が $Q = 20.5 \text{ l/s}$ 、平均水深が $\bar{h}_m = 14.1 \text{ cm}$ 、フルード数が $F_r = 0.265$ 、レーノルズ数が $Re = 4.85 \times 10^4$ であり、平均値として $\sqrt{g}/C = 0.04472$ 、 $h/r = 0.141$ であった。

主流速度の測定は図-2にも示されているように弯曲角が 0 度、60 度、120 度の位置で水路の中央において鉛直方向に 6, 7 点を行なった。それらの位置での測定値が図-3 に鉛直方向に平均した値で無次元化したものについて示してある。これらの鉛直分布を詳細に検討してみると弯曲角が大きい値の位置におけるもの程、鉛直方向に均一化していることが解る。

その点については流下方向の運動方程式から得られる基礎式(2)を数值計算して karman 定数の値が流下方向へ徐々に大きい値になってくることと符合している。すなわち式(2)において k が大きくなれば v_θ/v_m は 1 に近づくことになる。

$\Delta\theta = 5$ 度 ($\pi/36$) にとって図-1 に示されているような手順で計算すると最初弯曲角が 0 においては $k = 0.4$ であった値が 60 度 ($\pi/3$) の位置では $k = 0.514$ 、120 度 ($2\pi/3$) の位置では $k = 0.601$ となった。

実験値と計算値と比較してみると図-3 に示されているように各位置における場合ともよく一致しているようである。

4. おわりに 弯曲水路における主流速度は鉛直方向にも横断方向にも分布している。そして流下するに従い二次流が発達していくこともあって主流の速度分布は変化していく。二次流の発達を乱れの構造の変化に対応させて、Prandtl による混合距離 $l = K \cdot r$ における定数 K の変化をみることができるとする。

等流とした日方向の運動方程式から得られる K の変化を求める基礎式(3)を数值計算すると K の値は直線部における $K = 0.4$ から徐々に変化して、弯曲角が 120 度の位置においては $K = 0.6$ となった。これらの値を用いて式(2)による対数分布を示すと図-3 のようであり、実験値ともよく一致する結果が得られた。参考文献 1) Rozovskii, I. L., : Flow of Water in Bends of Open Channels. 2) 弯曲水路の河床変化について. 3) 浮遊砂を有する水流の諸特性について.

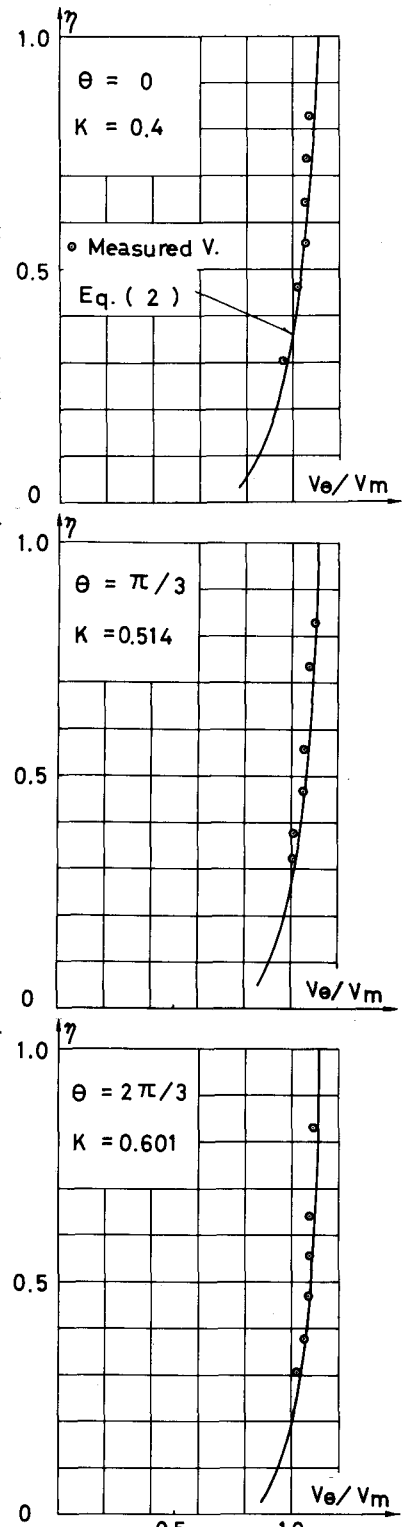


図-3 主流速度の鉛直分布